



Soggetto promotore: **Gruppo Marseglia**

Soggetto proponente: **Masserie Salentine S.r.l. Società Agricola** (componente agricola)

Soggetto proponente: **Energetica Salentina S.r.l.** (componente fotovoltaica)

IMPIANTO AGRIVOLTAICO

SITO NEI COMUNI DI NARDÒ, SALICE SALENTINO E VEGLIE
IN PROVINCIA DI LECCE

Valutazione di Impatto Ambientale

(artt. 23-24-25 del D.Lgs. 152/2006)

Commissione Tecnica PNRR-PNIEC

(art. 17 del D.L. 77/2021, convertito in L. 108/2021)

Idea progettuale e coordinamento generale: **AG Advisory S.r.l.**

Paesaggio e supervisione generale: **CRETA S.r.l.**

Programma di ricerca "Paesaggi del Futuro", Responsabili scientifici: **Prof. Arch. Paolo Mellano, Prof.ssa Arch. Elena Vigliocco** (Politecnico di Torino)

Programma di ricerca "Ottimizzazione dell'agrivoltaico con oliveti a siepe: analisi numerico matematica", Responsabili scientifici: **PhD Cristiano Tamborrino** (Università degli Studi di Bari), **PhD Elisa Gatto** (Biologa ambientale)

Postproduzione: **Galante – Menichini Architetti per AG Advisory S.r.l.**

Supporto grafico: **Heriscape Progetti S.r.l. STP per AG Advisory S.r.l.**

Progettisti:

Redazione Studio di Impatto Ambientale (SIA): **Arch. Sandra Vecchietti**
Arch. Filippo Boschi
Arch. Anna Trazzi
Arch. Jacopo Gianello

Contributi specialistici:

Acustica: **Ing. Massimo Rah**
Agronomia: **Dott. Agr. Barnaba Marinosci**
Approvvigionamento idrico: **Geol. Massimilian Brandi**
Archeologia: **Dott.ssa Caterina Polito**
Clima e PMA: **Dott.ssa Elisa Gatto**
Fauna: **Dott. Giacomo Marzano**
Geologia: **Geol. Pietro Pepe**
Idraulica: **Ing. Luigi Fanelli**
Rilievi: **Studio Tafuro**
Risparmio idrico: **Netafim Italia S.r.l.**
Vegetazione e microclima: **Dott. Leonardo Beccarisi**

Cartella
VIA_3/

Identificatore:
7_DOCSPEC08

Analisi del fenomeno di abbagliamento

Descrizione Analisi del fenomeno di abbagliamento

Nome del file:
7_DOCSPEC08.pdf

Tipologia
Relazione

Scala
-

Autori elaborato: Dott. Ssa Elisa Gatto

| Rev. | Data | Descrizione |
|------|----------|-----------------|
| 00 | 18/03/24 | Prima emissione |
| 01 | | |
| 02 | | |

Spazio riservato agli Enti:



ANALISI DEL FENOMENO DI ABBAGLIAMENTO

"BORGIO MONTERUGA"

Progetto di un impianto agrivoltaico da realizzarsi nei comuni di Nardò, Salice Salentino e Veglie in provincia di Lecce

CONTENUTI:

La seguente analisi è volta ad esaminare **i fenomeni di abbagliamento** associati alla realizzazione del parco agrivoltaico di progetto.

La verifica è stata condotta attraverso il software sviluppato da **ForgeSolar** e approvato dalla Federal Aviation Administration statunitense.

Dai risultati emerge che l'impianto **non genererà fenomeni di abbagliamento e/o riflessione che potrebbero costituire potenziali pericoli e ostacoli per la navigazione aerea.**

A cura di:

Dott.ssa Elisa Gatto, PhD



Sommario

| | |
|--|----|
| Premessa | 2 |
| 1. Analisi del fenomeno..... | 3 |
| 2. Caratteristiche del progetto | 6 |
| 3. Il fenomeno di abbagliamento con inseguitori mono assiali | 8 |
| 4. Distanza da aviosuperfici | 10 |
| 5. Analisi preliminare | 10 |
| 6. Analisi tramite software..... | 11 |
| 7. Risultati | 13 |
| 8. Conclusioni | 14 |
| ALLEGATI:..... | 15 |



Premessa

Il presente elaborato tecnico ha lo scopo di **esaminare i fenomeni di abbagliamento** associati alla realizzazione di un **Parco Agrivoltaico denominato “Borgo Monteruga”**, nei comuni di Nardò, Salice Salentino e Veglie in provincia di Lecce, della **potenza nominale 249,00 MWac e potenza di picco di 291,33 MWp, uno storage da 50 MW**, e relative opere di connessione costituite da un cavidotto a 380 kV interrato su strada, che collega l'impianto alla sottostazione sita nel comune di Erchie in provincia di Brindisi.

In ottemperanza alle Linee Guida dell'ENAC (*LG-2022/002-APT – VALUTAZIONE DEGLI IMPIANTI FOTOVOLTAICI NEI DINTORNI AEROPORTUALI Ed. n. 1 del 26 aprile 2022*) il presente studio intende certificare **l'assenza di fenomeni di riflessione e/o abbagliamento generate dall'impianto in progetto.**

Si è ritenuto necessario valutare in modo compiuto il potenziale impatto del progetto sulla navigazione aerea perché l'impianto è classificato come *grande impianto* (potenza oltre i 1000kW, uso industriale), pur **trovandosi al di fuori della Superficie Conica dall'ARP** (*Aerodrome Reference Point*) dell'aeroporto più vicino (Aeroporto militare di Lecce-Galatina – 25.8 km) e quindi **non essendo di Interesse Aeronautico** (vedi Figura 1). La verifica è stata condotta attraverso il software sviluppato da **ForgeSolar** e approvato dalla *Federal Aviation Administration* statunitense.

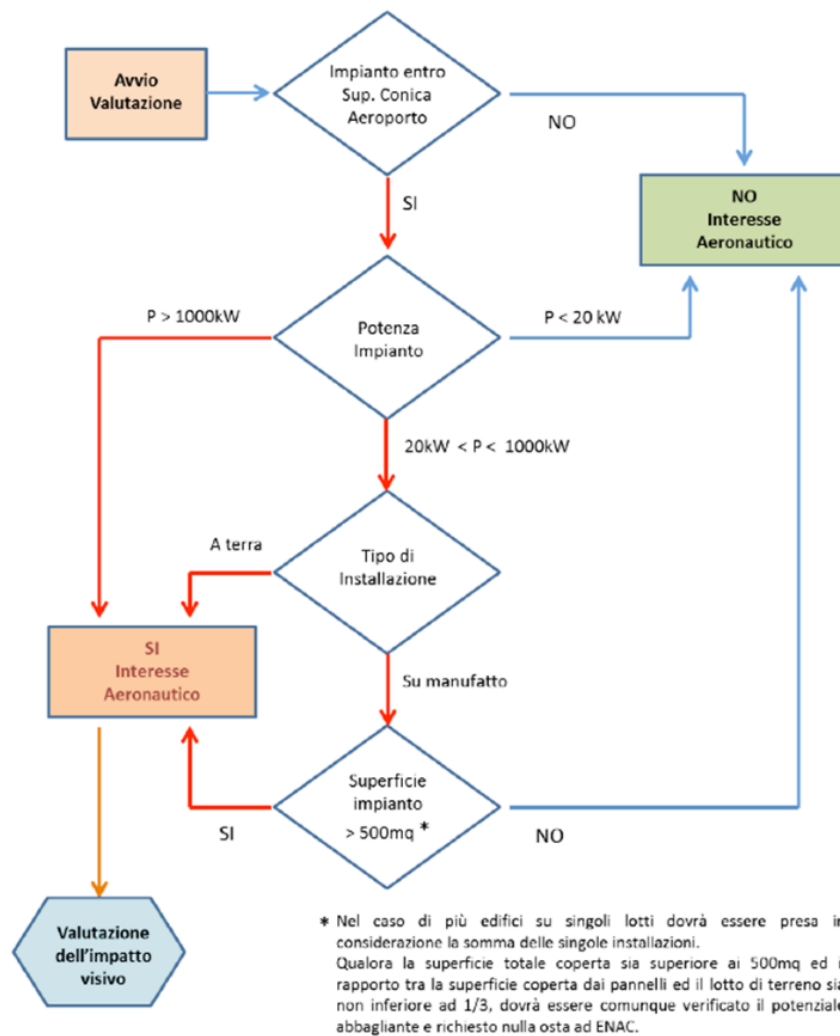


Figura 1: Procedura di valutazione di interesse dell'impianto ai fini aeronautici (Fonte: Linee Guida ENAC)

1. Analisi del fenomeno

Per abbagliamento visivo, si fa riferimento alla compromissione temporanea della capacità visiva dell'osservatore, scaturita dall'improvvisa esposizione diretta a una sorgente luminosa intensa. Il **bagliore**, in questo contesto, è comunemente descritto come un rapido lampo di luce intensa, spesso originato da riflessi di sorgenti in movimento, come ad esempio il riflesso solare momentaneo da un'auto in movimento. Diversamente, l'**abbagliamento** è caratterizzato come una **sorgente continua di luce intensa, solitamente associata a oggetti fissi** che riflettono la luce solare per un periodo più prolungato, determinato dal lento movimento relativo del sole.

La principale distinzione tra bagliore e abbagliamento risiede nella loro durata. Gli strumenti di analisi dell'abbagliamento standard del settore valutano la frequenza dell'abbagliamento minuto per minuto e,



pertanto, si tende a riferirsi ai rischi solari con il termine "abbagliamento". L'impatto oculare dell'abbagliamento solare è classificato in tre categorie¹:

- **Verde**: basso potenziale di causare immagine residua (cecità da flash);
- **Giallo**: potenziale per causare un'immagine residua temporanea;
- **Rosso**: potenziale per causare ustioni retiniche (danni oculari permanenti).

È importante notare che **l'ustione della retina di solito non è possibile nell'abbagliamento fotovoltaico poiché i moduli fotovoltaici non concentrano la luce solare riflessa**. L'impatto oculare dell'abbagliamento è rappresentato graficamente tramite il grafico del rischio di abbagliamento. Questo grafico mostra l'impatto oculare in relazione all'angolo della sorgente sotteso dall'abbagliamento e all'irraggiamento retinico. Ciascun minuto di abbagliamento viene rappresentato sulla carta come un piccolo cerchio nella zona di pericolo corrispondente. A titolo di riferimento, viene incluso un punto che evidenzia il pericolo derivante dall'osservare il sole senza filtri, ossia fissando direttamente il sole. Ogni grafico include una rappresentazione dell'abbagliamento previsto per un campo fotovoltaico e un punto di ricezione.

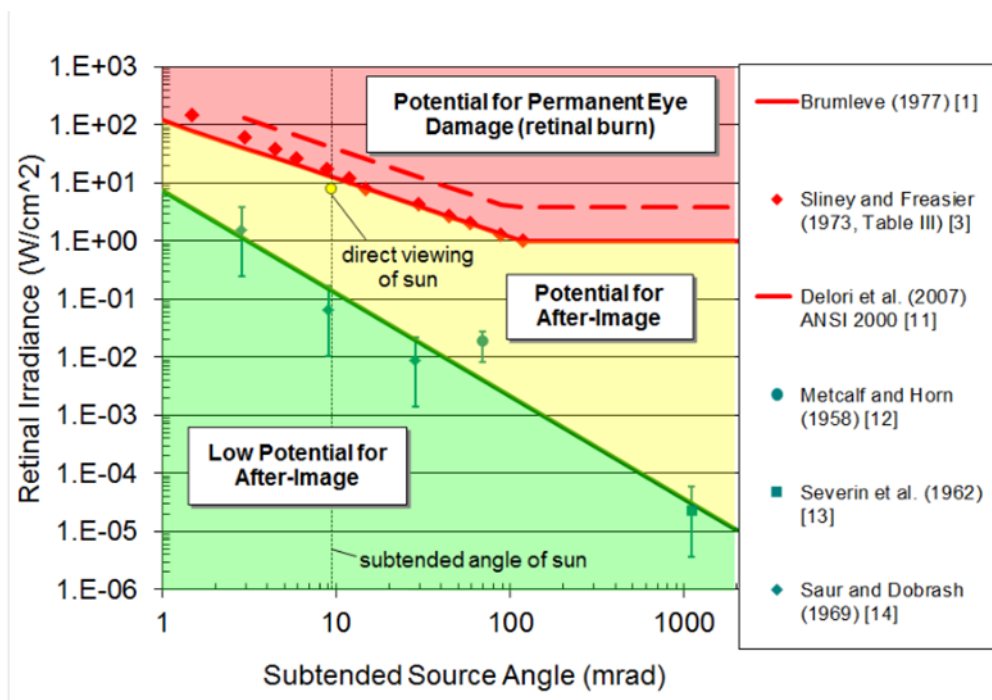


Figura 2: Grafico del rischio di abbagliamento (Fonte: www.forgesolar.com)

¹ Ho, C. K., Ghanbari, C. M., and Diver, R. B., 2011, "Methodology to Assess Potential Glint and Glare Hazards From Concentrating Solar Power Plants: Analytical Models and Experimental Validation", ASME J. Sol. Energy Eng., 133.

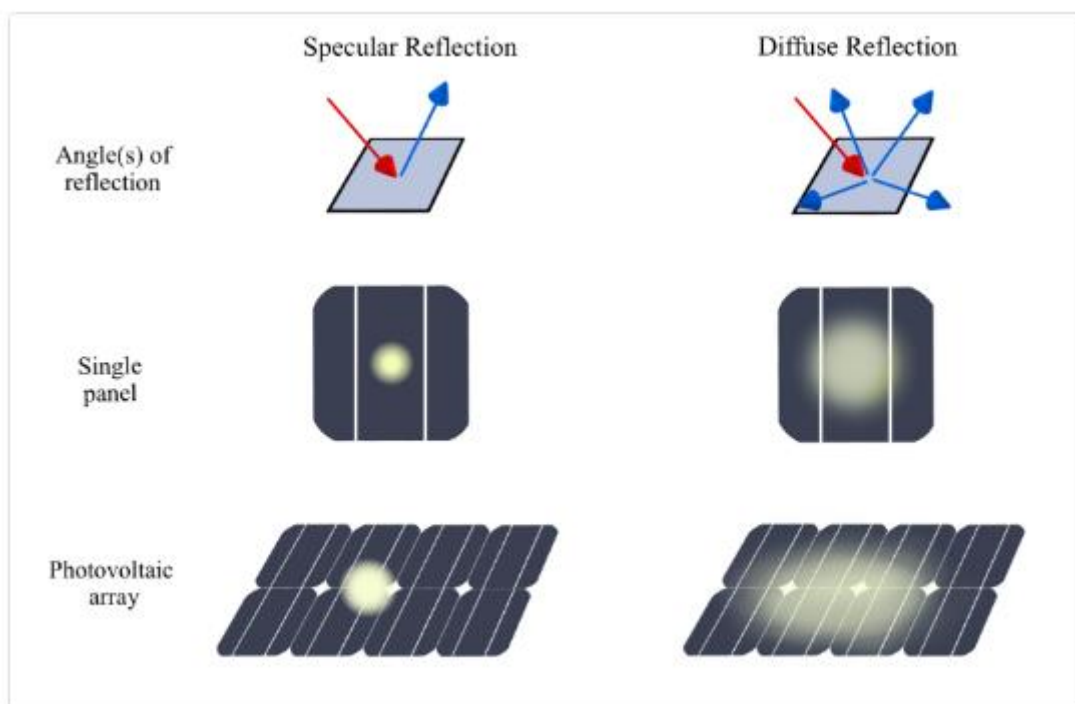


Figura 3: Riflesso speculare e diffuso su moduli fotovoltaici (Fonte: www.forgesolar.com)

I riflessi dei pannelli fotovoltaici possono disturbare gli osservatori. Gli studi hanno rilevato che 7 W/mq sono sufficienti per causare un'immagine residua della durata di 4-12 secondi². Ciò rappresenta un riflesso di solo l'1-2% della tipica radiazione solare (luce solare in entrata) per un dato luogo, che varia tipicamente tra $800\text{-}1000 \text{ W/mq}$.

Un fattore chiave del riflesso è la posizione dei moduli fotovoltaici rispetto al sole. Un pannello che assorbe il 90% della luce solare diretta può riflettere fino al 60% quando non è direttamente esposto al sole. Questa situazione è comune per i pannelli a bassa inclinazione durante il tramonto e l'alba³. L'affermazione spesso ripetuta secondo cui i pannelli fotovoltaici riflettono meno del 5% della luce solare è vera solo quando i pannelli sono rivolti direttamente verso il sole. Per i pannelli a montaggio fisso, questa affermazione si applica solo per pochi minuti della giornata, al massimo. In definitiva, **la riflessione è massima nelle ore (alba e tramonto) in cui il sole è basso, ed è sicuramente minore per impianti ad inseguitore rispetto ad impianti con moduli fissi.**

² Ho, C. K., Ghanbari, C. M., and Diver, R. B., 2009, "Hazard Analyses of Glint and Glare From Concentrating Solar Power Plants", SAND2009-4131C, in proceedings of SolarPACES 2009, Berlin, Germany, Sept. 15-18

³ Yellowhair, J. and C.K. Ho. "Assessment of Photovoltaic Surface Texturing on Transmittance Effects and Glint/Glare Impacts". ASME 2015 9th International Conference on Energy Sustainability collocated with the ASME 2015 Power Conference, the ASME 2015 13th International Conference on Fuel Cell Science, Engineering and Technology, and the ASME 2015 Nuclear Forum. 2015. American Society of Mechanical Engineers

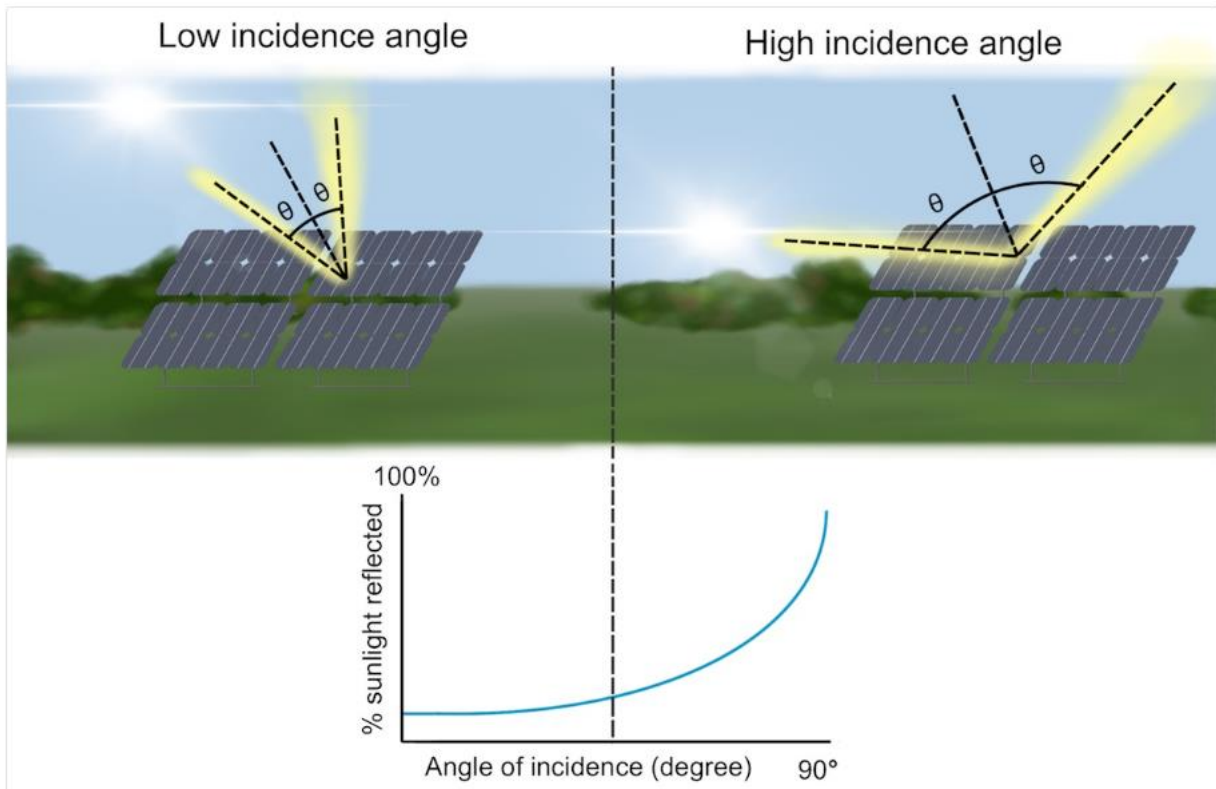


Figura 4: Il fenomeno della riflessione dipende dall'angolo dei moduli rispetto al sole (Fonte: www.forgesolar.com)

2. Caratteristiche del progetto

Il Progetto del Parco Agrivoltaico “Borgo Monteruga” è volto alla realizzazione e messa in esercizio di un impianto agrivoltaico, che vede combinarsi la coltivazione di 959.011 mq (95,90 ha) di aree ad esclusiva conduzione a seminativo e la messa a dimora di n. 110.481 piante appartenenti alla cultivar resistente FS-17 e di 1.491 piante appartenenti alla cultivar tollerante Leccino, con la produzione annua di 556.781.214 kWh energia, grazie a un impianto fotovoltaico elevato da terra della potenza nominale 249,00 MWac e con potenza di picco di 291,33 MWp (con moduli fotovoltaici bifacciali da 600 W), ed uno storage da 50 MW, e relative opere di connessione costituite da un cavidotto a 380kV interrato su strada, che collega l'impianto alla sottostazione sita nel comune di Erchie in provincia di Brindisi.

Nello specifico, la **componente fotovoltaica** del progetto, a supporto e integrazione della produzione agricola, che a questa si alterna sul terreno agricolo, è ottenuta dall'impiego di n. 485.548 moduli fotovoltaici bifacciali (*Longi LR7-72HGD 585~620 W*) da installare su **strutture metalliche ad inseguimento di rollio** (Est- Ovest) infisse a terra, costituite da **inseguitori mono assiali disposti secondo l'asse nord-sud** con un interasse di 9 m (distanza ottimale per le colture erbacee foraggere



ed officinali) e 12 m (distanza ottimale all'alternanza con la coltura olivo), per una estensione complessiva dell'area idonea pari a 4.163.941,68 mq (416,39 ha).

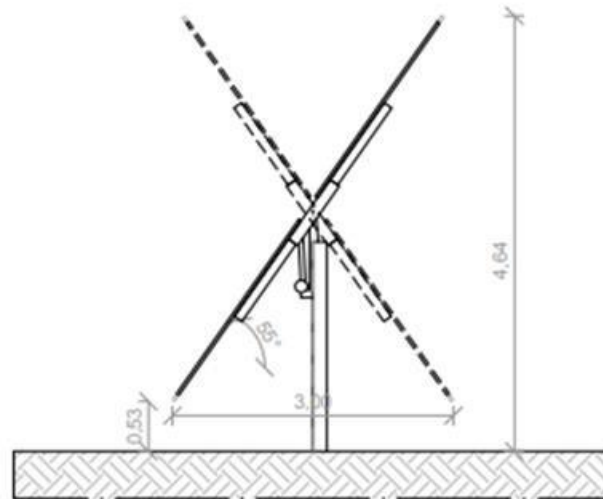


Figura 5: Sezione del pannello fotovoltaico utilizzato con specifiche dimensionali e spaziali



Figura 6: Render di progetto



3. Il fenomeno di abbagliamento con inseguitori mono assiali

Gli inseguitori mono assiali seguono la rotazione del sole lungo l'asse est-ovest per tutto il giorno. Questi possono ridurre l'abbagliamento per i recettori vicini perché in genere riducono l'angolo di incidenza tra i moduli e il sole, producendo angoli di osservazione più piccoli e una traiettoria verticale più alta per i riflessi dell'abbagliamento.

Gli angoli di rotazione sui quali i moduli inseguono quotidianamente il sole sono indicati come intervallo di rotazione o finestra di rotazione. I limiti di questo intervallo sono fissati dall'angolo di puntamento massimo, che viene applicato sia in direzione positiva che negativa. In altre parole, l'intervallo di rotazione di un inseguitore mono assiale è pari al doppio dell'angolo di tracciamento massimo. Ad esempio, un sistema fotovoltaico con un angolo di inseguimento massimo di 60° inseguirà il sole quotidianamente attraverso un intervallo di rotazione completo di 120° ($\pm 60^\circ$ da est a ovest) e tornerà indietro (se abilitato) quando il sole è all'esterno di questo intervallo o quando si verifica troppa ombreggiatura, a seconda della strategia di backtracking selezionata.

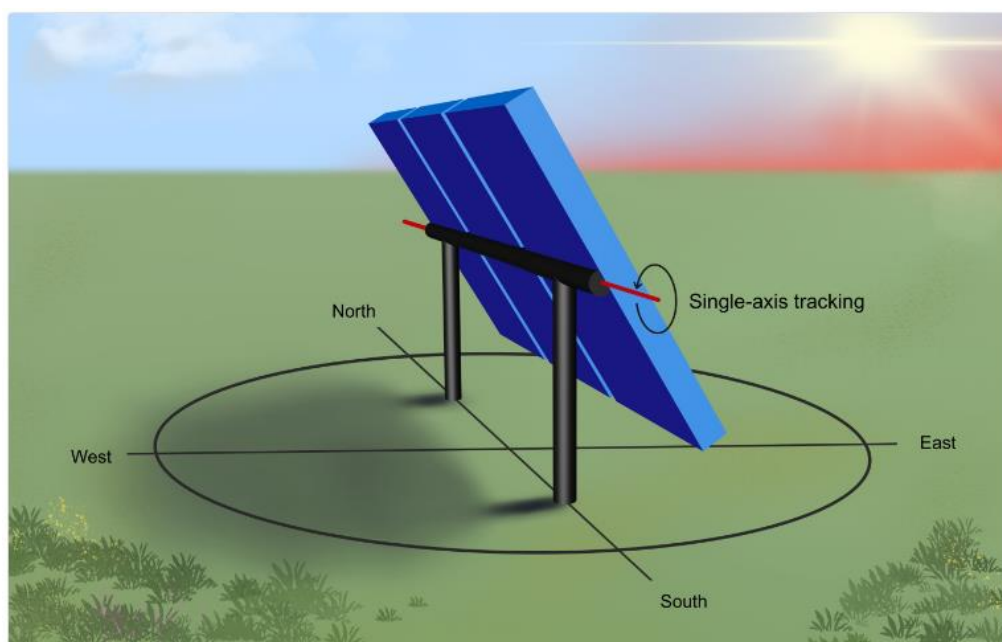


Figura 7: Inseguitore mono assiale

Il parametro PV di backtracking può essere utilizzato per simulare varie strategie che ruotano i moduli lontano dal sole per ridurre l'ombreggiamento. Queste strategie in genere hanno effetto quando la posizione del sole si trova al di fuori dell'intervallo di rotazione definito dall'angolo di inseguimento massimo dei pannelli fotovoltaici o quando si verifica un'ombreggiatura sostanziale, a seconda della strategia selezionata.



I seguenti grafici in Figura 8 e 9 illustrano la differenza nell'angolo di rotazione quando si utilizza il backtracking. Il sistema fotovoltaico nel primo grafico utilizza il tracciamento ad asse singolo senza backtracking. L'angolo di rotazione del pannello corrisponde al vero angolo di tracciamento durante il giorno. Il secondo grafico include il backtracking, per cui l'angolo di rotazione del pannello devia dal vero angolo di tracciamento quando la posizione del sole causa un'ombreggiatura sostanziale tra i pannelli. È evidente che nel caso di impianti con controllo della rotazione degli inseguitori con sistema backtracking la possibilità di abbagliamento diminuisce.

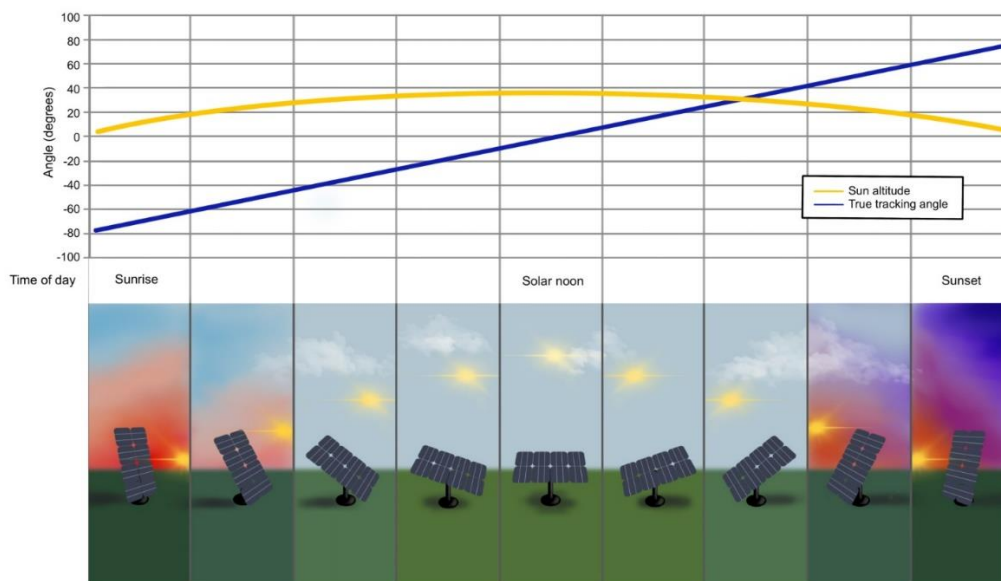


Figura 8: Inseguitore mono assiale senza backtracking (Fonte: www.forgesolar.com)

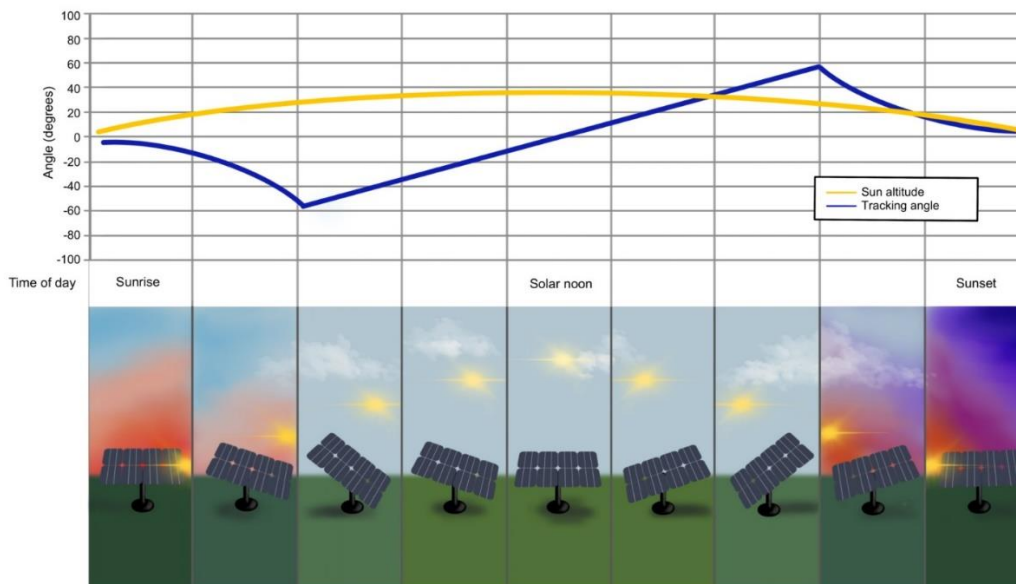




Figura 9: Inseguitore mono assiale con backtracking (Fonte: www.forgesolar.com)

4. Distanza da aviosuperfici

L'area di progetto si trova **al di fuori della Superficie Conica dall'ARP** (*Aerodrome Reference Point*) dell'aeroporto Aeroporto militare di Lecce-Galatina posto ad una distanza di 25.8 km e dell'aeroporto di Brindisi Casale posto ad una distanza di 32 km.



Figura 10: Localizzazione del progetto e indicazione della distanza dagli aeroporti più vicini. I cerchi rossi indicano l'area buffer di 6 km

5. Analisi preliminare

Al fine di effettuare la verifica preliminare dell'impianto fotovoltaico, ci si è avvalsi dell'Utility di pre-analisi disponibile sul sito dell'ENAC (<https://www.enac.gov.it/aeroporti/infrastrutturaaeroportuali/ostacoli-e-pericoli-per-la-navigazione-aerea/verifica-preliminare>) inserendo nel tool le informazioni richieste relative alle opere progettuali da valutare ed è stata avviata l'analisi. Il report di verifica generato dal sistema riporta il seguente risultato: "Nessuna interferenza rilevata per gli aeroporti e i sistemi di comunicazione /navigazione/RADAR di EVAV S.p.A.".



| REPORT | | | | | | |
|--|-------------------------|-------------------|---|----------------|-------------------|--------|
| Richiedente | | | | | | |
| Nome/Società: | Energetica Salentina | Cognome/Rag. | SRL | | | |
| C.F./P.IVA: | 04877200230 | Comune | | | | |
| Provincia | CAP: | | | | | |
| Indirizzo: | N° Civico: | | | | | |
| Mail: | PEC: | | | | | |
| Telefono: | Cellulare: | | | | | |
| Fax : | | | | | | |
| Tecnico | | | | | | |
| Nome: | ELISA | Cognome: | GATTO | | | |
| Matricola: | PuB_A4568 | Albo: | ORDINE DEI BIOLOGI DI PUGLIA E | | | |
| Ostacolo: Impianto agrivoltaico | | |  | | | |
| Materiale: | Silicio monocristallino | | | | | |
| <input type="checkbox"/> Ostacolo posizionato nel Centro Abitato | | | | | | |
| <input type="checkbox"/> Presenza ostacolo con altezza AGL uguale o superiore a 60 m entro raggio 200 m | | | | | | |
| Gruppo Geografico | | | PUGLIA-LE-Veglie-Borgo Monteruga | | | |
| Nr | Latitudine wgs84 | Longitudine wgs84 | Quota terreno | Altezza al Top | Elevazione al Top | Raggio |
| 1 | 40° 21' 14.0" N | 17° 50' 31.0" E | 55.0 m | 4.0 m | 59.0 m | 0.0 m |
| Nessuna interferenza rilevata per gli aeroporti e i sistemi di comunicazione/navigazione/RADAR di ENAV S.p.A. Per i restanti criteri selettivi fare riferimento al documento "Verifica Preliminare" (www.enac.gov.it) | | | | | | |

6. Analisi tramite software

Le valutazioni analitico-geometriche relative all'impianto in progetto sono state effettuate tramite il software **GlareGauge/ForgeSolar** basato sull'algoritmo SGHAT v.3 (*Solar Glare Hazard Analysis Tool*) e sviluppato dal Sandia National Laboratory, applicativo riconosciuto dall'Autorità degli Stati Uniti FAA. La simulazione permette di evidenziare l'assenza di fenomeni di abbagliamento persistente sia per i piloti in avvicinamento, sia per gli aeromobili in fase di decollo/rullaggio e la totale assenza di riflessione in direzione degli operatori della torre di controllo in ragione della inclinazione (tilt) e dell'orientamento di cui i pannelli sono dotati.

L'analisi si basa su una serie di dati di input relativi alla località, alle caratteristiche dell'installazione, alle operazioni aeronautiche previste ed alla posizione degli osservatori di torre di controllo. Per ogni punto di osservazione, il software è in grado di determinare:

- ora del giorno in cui verifica l'abbagliamento;



- durata giornaliera dell'abbagliamento;
- variazione stagionale dell'abbagliamento;
- posizione dell'abbagliamento sul diagramma di irraggiamento retinale.

L'abbagliamento a carattere debilitante che espone il pilota ad un bagliore improvviso (*glint*) viene scongiurato verificando l'impatto del fenomeno sui punti rappresentativi delle traiettorie di volo e rispetto alla posizione della torre di controllo del traffico aereo. L'abbagliamento a carattere infastidente che espone il pilota a fonti luminose persistenti nel proprio campo visivo (*glare*) può essere escluso verificando se, in termini di azimut e zenit, esistano raggi riflessi paralleli ed opposti alle direttrici di avvicinamento.

L'abbagliamento sperimentato in tutti i punti di osservazione identificati, viene quindi classificato, in base al libello di rischio oculare, in una delle tre categorie di impatto potenziale di immagine residua, secondo il diagramma di irraggiamento retinale (zona verde, gialla o rossa).

L'installazione è ritenuta accettabile quando i risultati della simulazione restituiscono i fenomeni di potenziale abbagliamento ricadenti nella zona verde del diagramma.

Qualora l'esito della simulazione dovesse restituire la presenza di fenomeni di abbagliamento ricadenti nella zona rossa (danno retinico permanente), non sarà possibile accettare il rischio e si renderà necessario rivedere la progettazione del sistema.

Qualora invece dovessero verificarsi probabili fenomeni di abbagliamento in zona gialla, occorrerà approfondire l'analisi e valutare attentamente i tempi di esposizione effettiva e l'implementazione di eventuali misure di mitigazione.



7. Risultati

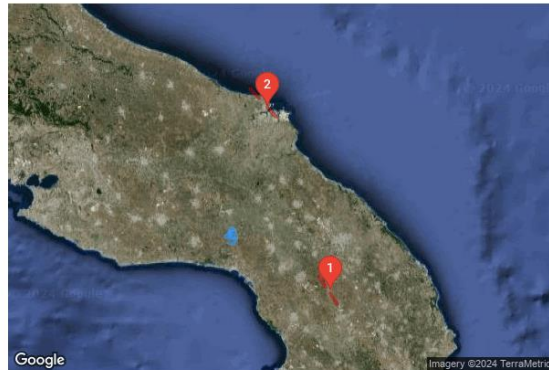
FORGESOLAR GLARE ANALYSIS

Project: **Borgo Monteruga**
 Site configuration: **Borgo Monteruga**

Client: Energetica Salentina srl

Created 06 Mar, 2024
 Updated 07 Mar, 2024
 Time-step 1 minute
 Timezone offset UTC+1
 Minimum sun altitude 0.0 deg
 DNI peaks at 1,000.0 W/m²
 Category 100 MW to 1 GW
 Site ID 113755.19577

Ocular transmission coefficient 0.5
 Pupil diameter 0.002 m
 Eye focal length 0.017 m
 Sun subtended angle 9.3 mrad
 PV analysis methodology V2

**Summary of Results** Glare with low potential for temporary after-image predicted

| PV Array | Tilt ° | Orient ° | Annual Green Glare | | Annual Yellow Glare | | Energy kWh |
|------------|----------------|----------------|--------------------|------|---------------------|-----|---------------|
| | | | min | hr | min | hr | |
| PV array 1 | SA tracking | SA tracking | 1,270 | 21.2 | 0 | 0.0 | - |
| PV array 2 | SA tracking | SA tracking | 479 | 8.0 | 0 | 0.0 | - |
| PV array 3 | SA tracking | SA tracking | 1,145 | 19.1 | 0 | 0.0 | - |
| PV array 4 | SA tracking | SA tracking | 1,537 | 25.6 | 0 | 0.0 | - |
| PV array 5 | SA tracking | SA tracking | 1,353 | 22.6 | 0 | 0.0 | - |
| PV array 6 | SA tracking | SA tracking | 388 | 6.5 | 0 | 0.0 | - |

Total glare received by each receptor; may include duplicate times of glare from multiple reflective surfaces.

| Receptor | Annual Green Glare | | Annual Yellow Glare | |
|----------|--------------------|------|---------------------|-----|
| | min | hr | min | hr |
| FP 1 | 4,963 | 82.7 | 0 | 0.0 |
| FP 2 | 0 | 0.0 | 0 | 0.0 |
| FP 3 | 0 | 0.0 | 0 | 0.0 |
| FP 4 | 0 | 0.0 | 0 | 0.0 |
| 1-ATCT | 1,209 | 20.1 | 0 | 0.0 |
| 2-ATCT | 0 | 0.0 | 0 | 0.0 |



L'impianto, suddiviso in 6 blocchi di studio (*PV array*), risulta a **"basso potenziale di abbagliamento con prevista after-image temporanea"** (zona verde). I recettori indagati sono stati:

- Braccio 1 aeroporto militare Lecce-Galatina orientamento N/W (FP1);
- Braccio 2 aeroporto militare Lecce-Galatina orientamento S/E (FP2);
- Braccio 1 aeroporto di Brindisi Casale orientamento N/W (FP3)
- Braccio 2 aeroporto di Brindisi Casale orientamento S/E (FP4);
- Punto di Osservazione 1 "Torre di Controllo – Aeroporto militare Lecce-Galatina (1-ATCT);
- Punto di Osservazione 2 "Torre di Controllo – Aeroporto Brindisi Casale (2-ATCT).

Alla presente relazione si allega:

- Asseverazione valutazione abbagliamento Impianti fotovoltaici (*LG-2022/002-APT – VALUTAZIONE DEGLI IMPIANTI FOTOVOLTAICI NEI DINTORNI AEROPORTUALI Ed. n. 1 del 26 aprile 2022*);
- Report dettagliato generato dal software dal quale si **evince la valutazione positiva dell'impianto** che ha fenomeni di potenziale abbagliamento ricadenti nella zona verde del diagramma di rischio.

8. Conclusioni

Dall'analisi condotta nel presente documento e dal report allegato è possibile affermare che **l'impianto di progetto denominato "Borgo Monteruga" non genererà fenomeni di abbagliamento e/o riflessione che potrebbero costituire potenziali pericoli e ostacoli per la navigazione aerea.**



ALLEGATI:

ASSEVERAZIONE DI ESCLUSIONE DA ITER VALUTATIVO

La sottoscritta Dott.ssa Elisa Gatto, nata a Nardò (LE) il 10/05/1993, C.F. GTTLSE93E50F842R, iscritta all'Ordine dei Biologi di Puglia e Basilicata, n. iscrizione PuB_A4568, consapevole delle responsabilità e delle pene stabilite dalla legge per false attestazioni e mendaci dichiarazioni (artt. 75 e 76 D.P.R. 445 del 28 dicembre 2000), sotto la propria personale responsabilità ed ai sensi degli artt. 359 e 481 del Codice Penale:

- constatati i dati tecnici delle opere contenuti nel progetto di realizzazione di un impianto agrivoltaico denominato "Borgo Monteruga" da realizzare nei comuni di Nardò, Salice Salentino e Veglie in provincia di Lecce, della potenza nominale 249,00 MWac e potenza di picco di 291,33 MWp, uno storage da 50 MW, e relative opere di connessione costituite da un cavidotto a 380 kV interrato su strada, che collega l'impianto alla sottostazione sita nel comune di Erchie in provincia di Brindisi;
- consultate le Linee Guida dell' ENAC/ENAV (LG-2022/002-APT – VALUTAZIONE DEGLI IMPIANTI FOTOVOLTAICI NEI DINTORNI AEROPORTUALI Ed. n. 1 del 26 aprile 2022);
- considerate le distanze dell'impianto di progetto con gli aeroporti più vicini: Aeroporto di Lecce Galatina posto ad una distanza di 25,8 km e Aeroporto di Brindisi Casale posto ad una distanza di 32 km;
- considerato che non è stata rilevata alcuna interferenza per gli aeroporti ed i sistemi di comunicazione/navigazione/RADAR di ENAV S.p.A. come da report allegato generato con software validato ForgeSolar che ha evidenziato un basso potenziale di immagine residua (*Green glare*);

ASSEVERA

alla luce di quanto sinora esposto, che il caso in esame rientra fra quelli per i quali non sussistono i criteri di assoggettabilità all'Iter Valutativo, e pertanto **si esclude l'interesse aeronautico**.

Nardò, li 08/03/2024



